
电力系統的繼電保護

下 册

苏联 A.M. 費多謝也夫著



高等学校教学用書

电力系統的繼電保護

下 冊

苏联 A.M. 費多謝也夫著

樊俊 陈德裕 王明俊 罗徑南譯

吳竟昌 張瑞歧校訂

苏联高等教育部批准作为动力和电工院系的教学参考書

内 容 提 要

本書和本書的上册（已于1957年4月出書）是目前有关繼電保護方面內容最丰富、最全面的教学参考書和專業參考書。本書接承上册由第五章开始，共包括五、六、七、八等四章；主要內容是：差动保护、高頻保護、電網保護的選擇原則、同步發电机的保護裝置、變壓器的保護裝置、發电机-變壓器組及線路-變壓器組的保護裝置、發电厂及變電所的母線保護裝置、異步及同步电动机的保護裝置等。在講述每一种保護裝置时都对該种保護的特点、它所对应的故障的性質、動作原理、結線方式和計算方法等加以詳細的叙述和分析。

А.М.ФЕДОСЕЕВ
РЕЛЕЙНАЯ ЗАЩИТА ЭЛЕКТРИЧЕСКИХ СИСТЕМ
ГОСЭНЕРГОИЗДАТ МОСКВА 1952

电 力 系 统 的 繼 电 保 护 下 册
根据苏联国立动力出版社1952年莫斯科版翻譯

樊俊 陈德裕 王明俊 罗徑南譯
吳竟昌 張瑞岐校訂

*
1077D316

水利电力出版社出版(北京西郊科學路二里街)

北京市書刊出版業營業許可證出字第105号

水利电力出版社印刷厂排印 新华书店發行

*

350×1163 1/32开本 * 103/16印張 * 267千字 * 定价(第10类) 1.50元

1958年8月北京第1版

1959年1月北京第2次印刷(3,901—5,920册)

目 录

第五章 差动保护	329
5- 1 动作原理	329
5- 2 不平衡电流	332
5- 3 动作电流及时间滞	339
5- 4 提高保护装置可靠性和灵敏度的方法	341
5- 5 应用中间饱和变流器向继电器的线圈供电	342
5- 6 带饱和变流器的保护装置的计算原则	344
5- 7 带制动作用的差动继电器的应用	346
5- 8 四极圆筒感应式带制动作用的差动继电器	349
5- 9 带有速饱和中间变流器的差动保护装置与具有制动元件的 继电器的比较	352
5-10 保护装置的动作电流及灵敏系数	354
5-11 线路的纵联差动保护装置的构成	355
5-12 РДЛ型纵联差动保护装置	358
5-13 监视辅助导线完整状态的机构	366
5-14 纵联差动保护装置的评价及其应用范围	367
5-15 平行线路的横联差动保护	368
5-16 横联差动电流保护装置的工作原理及其应用范围	369
5-17 横联差动电流方向保护装置的工作原理	371
5-18 横联差动电流方向保护装置的启动机构的动作电流	374
5-19 横联差动方向保护装置的相敏动作区	377
5-20 横联差动电流方向保护装置的特殊的启动机构	379
5-21 横联差动方向保护装置的死区	380
5-22 当线路断线并且有一侧短路时，横联差动方向保护装置的 动作情况	383
5-23 横联差动方向保护装置总结线圈举例	383
5-24 横联差动方向保护装置的评价及其应用范围	385
5-25 横联差动电流平衡保护装置的工作原理	386
5-26 ИТБ-201型电流平衡继电器	388

5-27	电流平衡保护裝置的相繼動作区的決定	390
第六章 高頻保護		392
6-1	高頻保護的構成方法	392
6-2	具有高頻閉鎖的方向保護裝置的工作原理	394
6-3	具有高頻閉鎖的方向保護裝置的原理結構	395
6-4	在振盪及異步狀態下，高頻閉鎖方向保護裝置的 動作情況	398
6-5	高頻閉鎖方向保護裝置的啓動機構	400
6-6	方向閉鎖高頻保護與距離保護的組合	402
6-7	用高頻電流在遠方啓動發送機的高頻方向保護裝置的 原理結構	404
6-8	高頻閉鎖方向保護裝置在一側有電源的綫路上的工作	409
6-9	高頻閉鎖方向保護裝置的繼電器部分與收發機之間的 相互作用	410
6-10	高頻閉鎖的負序方向保護裝置的構成原則	411
6-11	Π 3-184型具有高頻閉鎖及遠方啓動發送機的過濾器 式方向保護裝置	412
6-12	反應於不對稱短路的高頻閉鎖方向保護裝置的 原理結構	421
6-13	相差動高頻保護裝置的工作原理	424
6-14	相差動高頻保護裝置的原理結構	426
6-15	過濾器式高頻方向保護裝置與相差動高頻保護裝置的 相對評價	429
第七章 电网保護的選擇原則		429
7-1	保護裝置的動作區	429
7-2	主要保護裝置、備用保護裝置及輔助保護裝置	432
7-3	對保護裝置動作時間的要求	433
7-4	對保護裝置靈敏度的要求	433
7-5	电网中性點的接地方式對其繼電保護裝置的影響	435
7-6	电网結構及其個別元件的聯接方式對繼電保護的影響	438
7-7	电压為3—10千伏的电网的保護	440
7-8	接地電流小的35千伏架空电网的保護	441
7-9	接地電流大的110—220千伏架空电网的保護	442

7-10	110—220千伏电网中当开关拒动时的备用保护	445
7-11	110—220千伏电网中备用保护方法的比较	446
7-12	发电厂及变电所母线联络开关的保护	447
7-13	110—220千伏接地电流大的电网中实现按相切除单相短路时继电保护装置的作法上的特点	447
第八章 同步发电机的保护装置		455
8-1	发电机的各种故障和不正常的运行情况	455
8-2	发电机中的多相短路	456
8-3	静子线圈中的匝间短路	459
8-4	静子线圈中的单相接地	460
8-5	发电机电压的系统内中性点接地方式的选择	463
8-6	过电流	465
8-7	电压的升高	467
8-8	静子线圈的纵联差动保护装置	468
8-9	发电机静子线圈的横联差动电流保护装置	471
8-10	差动原理应用于发电机保护的评价	474
8-11	静子线圈单相接地专用保护装置的构成原理	475
8-12	使用零序电流互感器的电流保护装置的计算原理	478
8-13	发电机各相对地的电容	480
8-14	有零序电流互感器的结线中的不平衡电流	481
8-15	保护大容量发电机用的零序电流互感器的构成	482
8-16	将磁放大器用于发电机的接地保护装置	485
8-17	带有电站部电工研究所型式的磁放大器的零序电流保护装置	488
8-18	具有乌克兰科学院电工研究所型帮助磁的电流互感器的零序电流保护装置	490
8-19	使用帮助磁的电流互感器的保护装置的参数的选择	491
8-20	三个电流互感器式零序电流过滤器中的不平衡电流	496
8-21	带有三个电流互感器式电流过滤器的零序电流保护装置	498
8-22	带有不平衡电流补偿的零序过电流保护装置	501
8-23	发电机零序电流保护装置的评价	503
8-24	发电机外部短路的过电流保护装置	504
8-25	保护短路过电流的过滤器式电流保护装置	507

8·26	过负荷过电流的保护装置	508
8·27	励磁回路中的故障	509
8·28	励磁回路的两点接地保护装置	510
8·29	灭磁装置	513
8·30	火灾装置	515
8·31	发电机保护装置的总接线图	516
第九章 变压器的保护装置		518
9·1	变压器的故障与不正常运行情况的种类	518
9·2	变压器内的短路	519
9·3	变压器的不正常运行情况	521
9·4	瓦斯继电器及瓦斯保护装置的动作原理	523
9·5	瓦斯保护装置的原理接线图	526
9·6	瓦斯保护装置的评价及其应用范围	528
9·7	采用电流速断装置作为变压器的短路保护装置	528
9·8	利用差动保护装置来保护变压器	530
9·9	实现变压器线圈共同的差动保护装置的条件	531
9·10	变压器的励磁电流	534
9·11	防止共同的差动保护装置在励磁涌流下误动作的方法	535
9·12	带速饱和中间变流器的差动保护装置的接线	536
9·13	变压器差动保护接线中的速饱和中间变流器的用途及工作原理	541
9·14	速饱和变流器参数的选择	543
9·15	利用兼有速饱和及平衡作用的中间变流器的差动保护装置	544
9·16	带速饱和变流器的差动电流保护装置的起动电流及灵敏系数	546
9·17	差动电流速断装置	547
9·18	采用带制动作用的继电器并带有速饱和中间变流器的差动保护装置	548
9·19	带有ИДБ-211型继电器的变压器差动保护装置	551
9·20	差动保护装置的评价及其使用范围	556
9·21	当开关多于两个时，变压器差动保护装置的构成的基本特点	557

9-22 在具有两个以上开关的变压器的保护装置中利用带有 制动特性的差动继电器	559
9-23 变压器的短路过电流的保护装置	562
9-24 防御变压器短路过电流的特殊的电流保护装置	564
9-25 过负荷过电流的保护装置	568
9-26 三卷变压器以及具有两个以上开关的变压器的过电流 保护的特点	568
9-27 具有带负荷调压装置的变压器的保护装置的特点	570
9-28 用辅助变压器进行调压的变压器的差动保护装置 的构成	571
9-29 调压用辅助变压器的特殊的电流保护装置	574
第十章 發电机-变压器組及線路 变压器組的保护装置	575
10-1 發电机-变压器組的保护装置的特点	575
10-2 在發电机-变压器組的發电机电压系統中，發电机中 性点接地方式的选择	576
10-3 与变压器組合成机组而工作的發电机的接地保护	579
10-4 發电机-变压器組中發电机的零序过电压保护装置的 动作参数不灵敏度	580
10-5 發电机-变压器組的差动电流保护装置的特点	583
10-6 發电机-变压器組的过电流保护装置的特点	585
10-7 線路-变压器組的保护装置的特点	585
第十一章 發电厂及变电所的母綫保护裝置	586
11-1 母綫故障的种类	586
11-2 对母綫保护裝置所提出的要求	587
11-3 母綫保护裝置的構成方法	588
11-4 电流保护裝置	590
11-5 由连接元件上的电流繼电器或电力方向繼电器进行閉 鎖的电流保护裝置	592
11-6 距离保护	594
11-7 差动原理的应用	597
11-8 母綫保护裝置的差动原理的評价及其發展途徑	598
11-9 單母綫系統的差动电流保护裝置	600
11-10 元件經常工作于一个系統上的双母綫系統中的差动电	

流保护裝置	602
11-11 母綫系統之間帶有固定的配电元件的双母綫系統的差 动电流保护裝置	603
11-12 当双回綫上使用橫連差动保护裝置时，帶有固定配电 元件的母綫的差动保护裝置的特点	607
11-13 不完全的母綫差动保护裝置	608
11-14 母綫差动保护裝置的变流器的选择及其与繼電保护盤 联接的方法	612
11-15 具有無鐵心的变流器的母綫差动电流保护裝置	614
11-16 具有接地母綫的零序保护裝置	616
11-17 部分中性点接地的系統中，母綫保护裝置的特点	617
11-18 多角形結綫的母綫的保护裝置	618
11-19 为提高接到分裝式变流器上的母綫保护裝置的动作的 可靠性而采用的特殊备用裝置的电流保护裝置	619
第十二章 異步及同步电动机的保护裝置	620
12- 1 电动机的不正常运行情况及故障的类型	620
12- 2 电动机的过負荷过电流	622
12- 3 由于供电电網的电压对称地降低然后又恢复而引起的 異步电动机的过电流	624
12- 4 在电源电網中發生不对称的电压降低时，異步电动机 的工作情况	628
12- 5 同步电动机失去同步	629
12- 6 电动机的多相短路保护裝置	632
12- 7 利用热力繼电器構成的电动机过电流保护裝置	635
12- 8 利用有时滯的电流繼电器所構成的电动机过电流保护 裝置	637
12- 9 根据起动時間决定过电流保护裝置的时滯	639
12-10 低电压保护裝置的用途	640
12-11 低电压保护裝置的結綫	642
12-12 同步电动机失去同步的特殊保护裝置	645
12-13 同步調相机的保护裝置的特点	646

第五章 差动保护

5.1. 动作原理

根据將被保护元件的起端和末端的电流或其任何兩點的电流进行比較的原則而構成的保護裝置，称为差动电流保护。这种保護裝置在1908年就已經出現了。

为了实现这种保护，在被保护元件的起端和末端，或在要比較其电流的另外兩点，裝設具有同样变流比 n_n 的变流器（圖5-1）。在圖5-1中，按照習慣仅示出一相的变流器。假設这些变流器的一次線卷及二次線卷的同名端子系位于同一側。每一相的变流器的二次線卷靠近被保护元件側的端子彼此联接起来，外側的端子也彼此联結起来，而电流繼电器的線圈則与之并联。

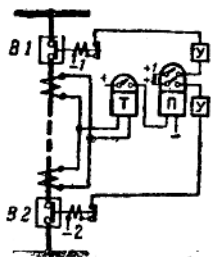


图 5-1 环流法差动电流保护装置的原理接线图

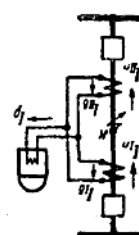


圖 5-2 环流法差动保护結
線中的电流分佈

为了决定在繼电器中的电流，必須對結線圖中所有的电流給予規定的正方向。依照圖5-2的結線可得：

$$I_p = I_{\text{Lg}} - I_{\text{ns}}, \quad (5-1)$$

繼电器中的电流等于两个交流器的电流的向量差。在联接交流器二次线圈的辅助导线中，环流着交流器的二次电流。因此保护装置获得差动的名称，而所讨论的结线图称为环流法结线。

正常工作状态下以及两个变流器之间的区域以外发生短路时，如果忽略电容电流和被保护元件的漏洩电流，则一次侧电流 I_{ta} 及 I_{na} 的大小相等并且同相。如果电流的变换很准确，则二次电流 I_{tb} 及 I_{nb} 也相等；继电器中的电流 $I_p=0$ ，而它不动作。

当两个变流器之间的区域内发生短路时（K点），通常电流 I_{ta} 及 I_{na} 大小不等而且也不同相。在采用同样的规定正方向时，则故障处的电流为 $I_{\kappa,s}=I_{ta}-I_{na}$ 。因此， $I_p=\frac{I_{\kappa,s}}{n_m}$ 。如果这个电流等于或大于继电器的动作电流 $I_{c,p}$ ，也就是说，如果 $\frac{I_{\kappa,s}}{n_m} \geq I_{c,p}$ ，则继电器动作并经过中间继电器而断开故障元件。中间继电器的作用，除了在§2 40中所指出的以外，还要使开关B1和B2的操作电流回路分开。

当故障处只是单侧有电源时，例如，在 $I_{na}=0$ 时，则 $I_{ta}=I_{\kappa,s}$ ，而 $I_p=I_{ta}=\frac{I_{\kappa,s}}{n_m}$ 。

由上述可知，这样构成的保护装置，仅当其变流器之间的被保护区域内发生故障时才会动作。

用标准变流器构成的环流法接线图，可用来保护长度不超过几百公尺的线段（例如，发电厂的厂用电线路，此外，又如在用来保护电机、电器和母线时）。当线路较长时，为了保证变流器的负载（由辅助导线的阻抗所决定）在容许值以内，辅助导线的截面可能需要大到不容许的地步，甚至大于被保护线路的导线的截面。同时也发生了关于继电器的联接地点问题以及如何使开关跳闸的问题。

为了能在长的线路上使用这种保护方式，应减小联接到变流器上的负载。为了做到这一点，可以使用二次侧额定电流较小的主要变流器，或者用标准的主要变流器而另装中间的降流变流器。例如，当 $I_{s,no,n}=0.1$ 安时，变流器的负载为 $S_m=0.1^2 R_{np}=0.01 R_{np}$ ，比起标准变流器在 $I_{s,no,n}=5$ 安时的 $25 R_{np}$ ，仅为 $2,500$ 分

之一。

減小保護裝置的二次側電流首先要受到輔助導線上電壓的增高的限制。電壓值不應超過對輔助導線絕緣的容許值。部分地由於這個原因，中間變流器時常作成飽和式的（§ 5-12）。

⑩採用這樣的結線時，最好同時在兩端的變電所中裝兩套繼電器，以斷開相應的開關。

考慮到上述情況並用標準變流器作成的環流法保護裝置的原理結線圖，如圖5-3所示。

也有均壓式差動電流保護結線方式（圖5-4），在此結線方式中同一相的變流器的二次線圈的聯接方法是使一個變流器的朝向被保護元件內側的端子（1）與另一個變流器的朝向被保護元件外側的端子（2）互相聯接。電流繼電器的線圈與輔助導線串聯（接在輔助導線斷開處）。

對於圖5-4的結線方式而言，在採用規定的正方向時，則

$$I_p = \frac{E_1 - E_2}{Z_B}, \quad (5-2)$$

式中 E_1 和 E_2 ——變流器二次線圈的感應電動勢， Z_B ——二次回路的總阻抗，包括輔助導線的阻抗；繼電器線圈的阻抗及變流器二次線圈本身的阻抗。

在正常工作狀態下以及在保護區以外短路時， $E_1 = E_2$ ，電流 $I_p = 0$ ，而繼電器不動作。當保護區內發生故障時， $E_1 \neq E_2$ 。因此在繼電器中出現電流，如果 $I_p \geq I_{c.p.}$ ，則繼電器動作並切除故障元件。

圖5-4的結線方式與圖5-1的結線方式的區別，首先在於當正常工作狀態及外部短路時在前一種結線的二次回路中沒有電流，因為電壓 E_1 與 E_2 互相平衡，而變流器工作於空載狀態。全部一次電流都是勵磁電流。這

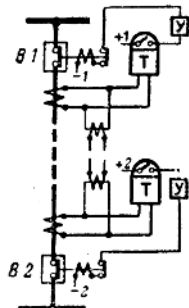


圖 5-3 具有兩套繼電器的降低環流的差動電流保護裝置的原理
結線圖

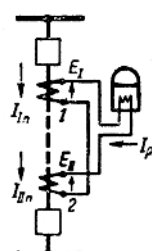


圖 5-4 均壓式差動電流保
護裝置中變流器及繼電
器的原理結線圖

可能引起变流器的铁心不容许的过热，并且使二次回路中出现对绝缘及工作人员有危险的电压。此外，当被保护的线路较长时，则甚至当保护区区内没有短路时，在二次回路及继电器中将出现由于辅助导线铁心之间的电容所引起的相当大的电流，要用整定电流 $I_{c,p}$ 的方法来避开此电流可能是困难的。因此当采用标准变流器时，不能采用上述形式的均压式结线方式。

为了实现在实际上适用的方案，可将保护装置的回路例如经特殊设计的中间变流器供给，后者的二次线圈中的感应电动势互相平衡。此时主变流器以中间变流器的全部阻抗为负载而工作在容许的状态之下。

和在环流法的线路保护结线中一样，在均压式结线方式中每一端的变电站中也都要装设继电器。

如用均压式结线方式来保护辅助导线不很长的元件时，比环流法结线方式更复杂些，如用它来保护较长的线路，则与环流法比较起来没有很大的优点。因此在实际上它的应用有限。

5-2. 不平衡电流

当讨论差动保护装置的动作原理时（图5-2），曾假定在正常工作状态下及外部短路时， $I_p=0$ 。这种情况仅当使用 $I_{nss}=0$ 的理想的变流器时，或者变流器具有绝对相同的特性及负载时，才可能发生。实际上不会有这种情况。

在图5-5上示出保护装置的两个变流器的二次电流的稳态值与外部短路电流 I_{ss} 的关系曲线。当 I_{ss} 的倍数不大时，它们在数值上几乎重合，而当对应于10%误差的电流倍数时（那时某些类型的变流器的磁感应约达18,000—19,000高斯），二个曲线可能差异很大。在继电器中的电流 $I_p=I_{ss}-I_{ns}$ 不等于零，因而 $I_{c,p}$ 应该整定得避开它。

在一般情况下，当外部短路时，依照变流器的等值电路图（图2-51）可知， $I_{ss}=I'_{ss}-I'_{ns}$ ； $I_{ns}=I'_{ns}-I'_{nss}$ ；而继电器中的电流即所谓不平衡电流 I_{ns} ，根据（5-1）等于

$$I_p = I_{ns} = I'_{ns} - I'_{nss} \quad (5-3)$$

通常，一次电流的倍数愈大，则不平衡电流也愈大。

在外部短路的第一个週波內， I_{as} 达到特別大的数值，这是由于短路电流 $I' = I'_{an} + I'_{as}$ 的非週期分量 I'_{as} 以及铁心的剩磁使得变流器饱和所致。

变流器不但变换一次电流的週期分量 $I'_{an} = I'_m \cos \omega t$ ，而且也变换二次电流的非週期分量 $I'_{as} = -I'_m e^{-\frac{t}{T_1}}$ （圖5-6），因为后者



圖 5-5 变流器的二次电流与一次电流的关系曲綫

的符号虽然不变，然而其数值还是随着时间在变化，因为它要依照系統短路点以前的一次回路的时间常数 $T_1 = \frac{L_C}{R_C} = \frac{x_C}{\omega R_C}$ 的大小而衰減。但是这些变换的規律是不同的。

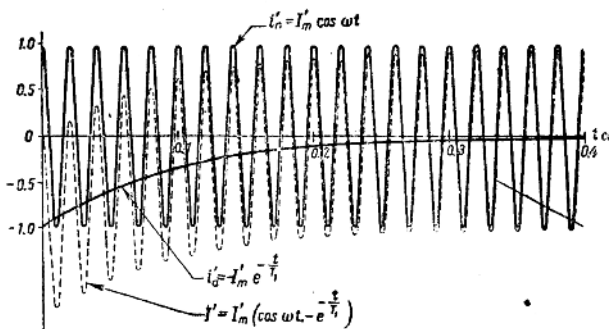


圖 5-6 短路全电流的瞬时值以及它的週期分量
和非週期分量随时间的变化 ($I'_m = 1$,
 $T_1 = 0.1$ 秒)

接有负载的变流器的简化等值电路圖 ($R'_{satn} = 0$) 如圖5-7 所示。

一次电流的週期分量 I'_{an} 的分布是与激磁支路的阻抗 $Z'_{an,n} = j\omega L_{an,n}$ 和二次回路的阻抗 $Z_{2n} = Z_s + Z_{nosp} = R_s + R_{nosp} + j\omega (L_s + L_{nosp})$ 成反比的：

$$\frac{I'_{\text{na.n}}}{I_{\text{a,n}}} = \frac{Z_{2n}}{Z'_{\text{na.n}}} \quad \text{或} \quad \frac{I'_{\text{na.n}}}{I_{\text{a,n}} + I'_{\text{na.n}}} = \frac{Z_{2n}}{Z'_{\text{na.n}} + Z_{2n}}.$$

因此，被週期分量所决定的激磁电流为

$$I'_{\text{na.n}} = I'' \frac{R_s + R_{\text{naep}} + j(X_s + X_{\text{naep}})}{R_s + R_{\text{naep}} + j\omega(L_{\text{na.n}} + L_s + L_{\text{naep}})}. \quad (5-4)$$

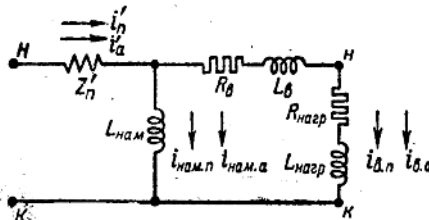


圖 5-7 接有負載的變流器的簡化的等值電路圖
($R_{\text{na.n}}=0$)

一大电流的非週期分量 i'_{a} 和週期分量一样，与等值电路的支路的阻抗成反比地分佈： $\frac{i'_{\text{na.m.a}}}{i_{\text{a,a}}} = \frac{z_{2a}}{z_{\text{na.m.a}}}$ 。但是，这些支路对于非週期分量的阻抗与微分方程的解（参看下面），已是另外的值，設等值电路的不同的 R 和 L 均与頻率無关，则可表示如下：

$$z_{\text{na.m.a}} = -\frac{L_{\text{na.n}}}{T_1} \quad \text{及} \quad z_{2a} = R_s + R_{\text{naep}}$$

$$-\frac{L_s + L_{\text{naep}}}{T_1}.$$

考虑这些关系，可得：

$$i'_{\text{na.n.a}} = i'_{\text{a}} \frac{R_s + R_{\text{naep}} - \frac{L_s + L_{\text{naep}}}{T_1}}{R_s + R_{\text{naep}} - \frac{L_{\text{na.n}} + L_s + L_{\text{naep}}}{T_1}}. \quad (5-5)$$

(5-4) 式与 (5-5) 式相比較可以看出，非週期分量的变换情况比週期分量坏得多，其绝大部分經激磁支路而連通，因而使激磁电流超过其稳态值許多倍。

(5-5) 式也指出， $t'_{n.m.n}$ 随时间常数 T_1 的加大而增加。在电力系统中，大容量发电机的 T_1 的最大数值达 0.25—0.35 秒。 T_1 的平均值在 0.01—0.1 秒的范围内变动。因此，当靠近大容量发电机的出口发生故障时，短路电流的非周期分量的变换最坏。

当一次回路中发生短路时，二次回路电感的磁通以及变流器磁导体中的磁通不能跳跃地增长。因此，在由 $L_{n.m.}$, L_s , R_s , L_{nsep} 及 R_{nsep} 所组成的闭合的二次回路中，应该出现非周期性的自由分量，以补偿在起始瞬间的上述强制分量。

一共出现 4 个非周期性自由分量：其中两个补偿一次回路中的 $I'_{n.m.n}$ 和 $I'_{n.m.o}$ ，而另外两个补偿二次回路的 $I_{s..}$ 。但是，考虑到它们以同样的二次回路时间常数

$(T_2 = \frac{L_{n.m.} + L_s + L_{nsep}}{R_s + R_{nsep}})$ 而衰减，故可以忽略一个综合的非周期性自由分量 $I_{s..}$ 。

求它的起始值是很容易的，因为一次电流的周期分量和非周期分量的起始值大小相等而符号相反。因此，激磁支路中两个自由分量的起始值之和等于二次回路中两个自由分量之和，并且在闭合的二次回路中与之具有相同的方向。由上述可知，自由的非周期电流的起始值为激磁支路中（或二次回路中）强制电流起始值的代数和。

在瞬变过程中，变流器的激磁总电流及基本分量的瞬时值的关系大致如图 5-8 所示，该图系根据上述关系并考虑以下几点而作成的：

1. 不考虑磁导体的饱和。
2. 电流分量 $I'_{n..}$ 不衰减。
3. 忽略了补偿 $I'_{n.m.n}$ 的分量。

由图 5-8 可知，在瞬变过程中， $I_{n.m.}$ 基本上决定于强制的非周期分量与自由的非周期分量之差。在大多数情况下， $T_2 > T_1$ ；所以在发生短路后经过一些时间（通常不超过几个周期），强制分量显著地衰减，而基本上只剩下超过稳态值 $I'_{n.m.}$ 许多倍

的自由分量。

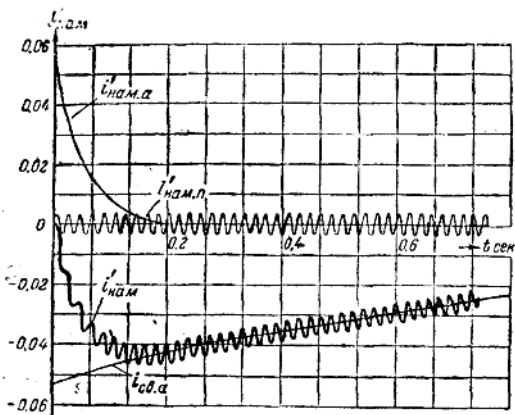


圖 5-8 在瞬變過程時，變流器的激磁電流及其
• 基本分量的瞬時值隨時間的變化 (T_1
 $= 0.05$ 秒, $T_2 = 1$ 秒, $I'_{m} = 1$)

當其他情況相同時，容量較大的變流器的時間常數 T_2 較大，
所以其自由分量也衰減得比較緩慢，因此激磁電流的最大值出現
得遲一些。

當外部短路時，差動保護裝置中的負載几乎完全決定於輔助導線的電
阻。當線圈均勻地分佈在磁導體上因而其漏磁很小時，變流器二次線圈的
阻抗基本上決定於其有效分量，即 $x_0 \sim R_0$ ；由此，為了簡化電流 $i'_{H\alpha M}$ 的
分析計算，令 $Z_{H\alpha sp} = R_{H\alpha sp}$; $x_0 = R_0$; $Z_{H\alpha n} = \omega L_{H\alpha n} = \text{常數}$ （不考慮飽
和及鐵損）。

假設故障發生在相當於一次側短路電流 i' 的週期分量 i'_n 的瞬時值
最大的時間，那時用以補償週期分量的非週期分量 i'_{a} 也具有最大值。為
簡單計，可認為 i'_n 不衰減。所以 i' 按下列規律而隨時間變化

$$i' = i'_n + i'_{a} = I'_{m} \cos \omega t - I'_{m} e^{-\frac{t}{T_1}}. \quad (5-6)$$

解下列二方程式可求得激磁支路中的電流 $i'_{H\alpha n}$ 以及二次回路中的電
流 i_a 。

$$i' = i'_{H\alpha n} + i'_{a}$$